

白藜芦醇通过沉默调节蛋白 1-解偶联蛋白 2 信号通路降低小鼠睾丸间质细胞 TM3 的氧化损伤

张晓春¹ 陈指龙¹ 方 娟¹ 黎 陈¹ 伍小松^{2*} 杨 青^{1*}

(1.湖南农业大学动物医学院, 长沙 410128; 2.湖南农业大学动物科学技术学院, 长沙 410128)

摘 要: 本试验旨在研究白藜芦醇 (RES) 对氧化损伤小鼠睾丸间质细胞 TM3 的保护作用, 并探索其可能的作用机制。首先, 用不同浓度 (0、150、200、250、300 $\mu\text{mol/L}$) 的过氧化氢 (H_2O_2) 处理小鼠睾丸间质细胞 TM3 8 h, 确定建立氧化损伤细胞模型的适宜 H_2O_2 浓度。用适宜浓度的 H_2O_2 建立氧化损伤细胞模型; 然后, 用不同浓度 (0、2.5、5.0 和 10.0 $\mu\text{mol/L}$) 的 RES 分别处理正常细胞和氧化损伤细胞 24 h, 确定 RES 安全浓度; 最后, 用安全浓度的 RES 处理氧化损伤细胞 24 h。在整个培养过程中采用 iCELLigence 实时无标记细胞功能分析仪监测细胞的增殖情况; 待安全浓度的 RES 处理氧化损伤细胞结束后采用 2',7'-二氯荧光素二乙酸酯 (DCFH-DA) 探针法检测细胞中活性氧 (ROS) 的含量, 实时荧光定量 PCR (RT-qPCR) 和蛋白质印迹 (Western blotting) 法分别检测沉默调节蛋白 1(SIRT1)/UCP2 信号通路中关键因子 *SIRT1* 和 *UCP2* mRNA 和蛋白质的相对表达量。结果表明: 1) 用浓度为 150 $\mu\text{mol/L}$ 及以上的 H_2O_2 处理细胞 8 h 后, 极显著降低细胞存活率 ($P<0.01$), 因此确定 150 $\mu\text{mol/L}$ 为建立氧化损伤细胞模型的适宜 H_2O_2 浓度。2) 用 10.0 $\mu\text{mol/L}$ 及以下浓度的 RES 处理正常细胞 24 h 后, 细胞存活率均无显著变化 ($P>0.05$); 用 2.5、5.0 和 10.0 $\mu\text{mol/L}$ 的 RES 处理氧化损伤细胞 24 h 后, 细胞存活率均显著提高 ($P<0.05$), 且各浓度 RES 组间无

收稿日期: 2018-01-03

基金项目: 国家自然科学基金项目 (31772819, 31572591); 中国博士后科学基金第七批特别资助 (2014T70770)

作者简介: 张晓春 (1992—), 女, 辽宁丹东人, 硕士研究生, 从事营养对动物繁殖调控研究。E-mail: 987052094@qq.com

*通信作者: 伍小松, 副研究员, 硕士生导师, E-mail: wuxiaosong529@126.com; 杨 青, 教授, 博士生导师, E-mail: qingyanghn@hunau.edu.cn

20 显著差异 ($P>0.05$)。因此, 选用 $5.0\ \mu\text{mol/L}$ 为 RES 的安全浓度。3) 用 $5.0\ \mu\text{mol/L}$ 的 RES
21 处理氧化损伤细胞 24 h 后, 细胞中 ROS 的含量较极显著降低 ($P<0.01$); 细胞中 *SIRT1* mRNA
22 和蛋白质的相对表达量极显著增加 ($P<0.01$), 而 *UCP2* mRNA 和蛋白质的相对表达量则显
23 著或极显著降低 ($P<0.01$ 或 $P<0.05$)。由此可见, 适宜浓度的 RES 可激活 *SIRT1* 同时抑制
24 *UCP2* 的表达, *UCP2* 通过负反馈调节方式减少细胞内 ROS 的生成, 从而在一定程度上抑制
25 TM3 细胞的氧化损伤。

26 关键词: 白藜芦醇; 氧化损伤; 沉默调节蛋白 1; 解偶联蛋白 2; 小鼠睾丸间质细胞 TM3

27 中图分类号: S823;R285.5

文献标识码: A

文章编号:

28 当机体遭受体内外各种有害刺激时, 由于机体内氧化系统与抗氧化系统平衡失调, 机体
29 内活性氧 (ROS) 会大量聚集, 使组织细胞暴露于高浓度氧分子或氧的化学衍生物, 从而引
30 起细胞的氧化损伤。研究发现氧化损伤可引起动物严重的生精障碍, 导致睾丸组织发生明显
31 的病理变化, 睾丸指数和精子数下降, 精子畸形率升高, 造成雄性动物不育^[1-2]。白藜芦醇
32 (RES) 是一种广泛存在于葡萄、花生、虎杖、决明、藜芦等植物性食物中的天然多酚类物
33 质, 具有很广泛的生物学活性, 在治疗氧化损伤、炎症、过敏、肿瘤、心血管疾病等方面都
34 得以应用^[3-4]。目前, RES 在畜禽生产中被广泛应用, 它能提高畜禽的生产性能、改善畜
35 禽胴体品质和肉品质、提高畜禽免疫力和抗氧化能力^[5]。高糖高胆固醇饮食可导致小鼠睾丸
36 间质细胞的睾酮合成能力受损, 添加 RES 能够通过减轻其氧化应激, 并通过激活沉默调节
37 蛋白 1(*SIRT1*)及影响下丘脑-垂体-性腺轴的调控发挥保护作用^[6]。成海建等^[7]研究发现 RES
38 可通过激活 *SIRT1*/腺苷酸活化蛋白激酶 (AMPK) 信号通路促进牛皮下脂肪细胞的凋亡。
39 周曦等^[8]研究发现 RES 可能通过调控 *SIRT1*/解偶联蛋白 2(*UCP-2*)信号通路抑制血管内皮细
40 胞氧化应激损伤。*SIRT1* 具有去乙酰化酶活性, 通过对组蛋白、多种转录因子、转录共调控
41 因子的翻译后修饰 (去乙酰化), 可调节与氧化应激、凋亡、炎症反应相关基因和蛋白质的
42 转录^[9]。*UCP2* 作为解偶联蛋白, 能影响线粒体的跨膜电位, 当线粒体内膜电势升高时, *UCP2*

能够降低细胞膜内外氢离子 (H^+) 浓度, 促进氧消耗, 从而抑制 ROS 的产生^[10]。目前, 虽已明确 RES 的抗氧化作用效果, 但对于其具体的作用机制尚未完全明确。因此, 本研究以小鼠睾丸间质细胞 TM3 为研究对象, 在过氧化氢 (H_2O_2) 诱导的氧化应激状态下研究 RES 对氧化损伤细胞的治疗作用, 并阐明其可能的作用机制, 以期防治由氧化损伤引起的雄性生殖系统疾病提供理论依据。

1 材料与方法

1.1 试验材料

小鼠睾丸间质细胞 TM3 细胞株由中国科学院上海细胞库提供; RES、 H_2O_2 、羊抗-UCP2 多克隆抗体和辣根过氧化物酶 (HRP) 标记兔抗羊免疫球蛋白 G (IgG) 购自美国 Sigma 公司; 兔抗-SIRT1 多克隆抗体和兔抗- β -肌动蛋白 (β -actin) 多克隆抗体购自英国 Abcam 公司; HRP 标记驴抗兔 IgG 购自美国 Santa Cruz Biotechnology 公司; Trizol 购自美国 Life Technologies 公司; HiScript[®] II Q RT SuperMix for qPCR(+gDNA wiper)试剂盒、ChamQ[™] SYBR[®] qPCR Master Mix 试剂盒购自南京诺唯赞生物科技有限公司; 二辛可酸 (BCA) 蛋白定量试剂盒购自碧云天生物技术研究; ROS 检测试剂盒购自南京建成生物工程研究所; 放射免疫沉淀测定 (RIPA) 细胞裂解液和苯甲基磺酰氟 (PMSF) 购自北京索莱宝科技有限公司; 胎牛血清购自美国 Gibco 公司; DMEM/F12 培养基购自美国 Hyclone 公司。

1.2 试验方法

1.2.1 细胞培养

小鼠睾丸间质细胞 TM3 细胞株用 DMEM/F12 培养基 (添加 10% 的胎牛血清和 1% 青-链霉素-两性霉素), 置于 37 °C、5%CO₂ 培养箱中培养。每天更换培养基, 待细胞长至对数生长期即汇合度达到 80%~90% 时, 使用胰酶消化制备细胞悬液。

1.2.2 iCELLigence 细胞功能分析仪监测细胞增殖情况

将细胞消化离心后, 用含 1% 胎牛血清的 DMEM/F12 培养基重悬细胞并计数, 制备成密

度为 2.5×10^4 个/mL 的细胞悬液待用。在 E-Plate L8 板中加入含 1%胎牛血清的 DMEM/F12 培养基 (150 μ L/孔), 放入 iCELLigence 实时无标记细胞功能分析仪 (Roche, 德国), 在仪器配备的 iPad 软件中, 选择增殖试验, 用含 1%胎牛血清的 DMEM/F12 培养基自动调零。随后取出 E-Plate L8 板, 每孔加入细胞悬液 300 μ L, 每组设置 3 个重复孔, 待细胞静置 30 min 后将 E-Plate L8 板重新放置于 iCELLigence 实时无标记细胞功能分析仪内, 点击开始进行实时监测。具体操作过程中: 1) 在确定建立氧化损伤细胞模型的适宜 H_2O_2 浓度的试验中, 待细胞生长曲线进入对数期后 (即在培养板中培养 24 h 后), 将 E-Plate L8 取出, 轻轻吸出 100 μ L 培养基, 再加入 100 μ L 含不同浓度 H_2O_2 的培养基, 使终浓度分别 0 (正常对照组)、150、200、250 和 300 μ mol/L, 轻轻混匀后再将 E-Plate L8 板置于分析仪中, 继续监测 8 h, 此过程共监测 32 h。2) 在确定 RES 安全浓度的试验中, 待细胞生长曲线进入对数期后 (即在培养板中培养 24 h 后), 将 E-Plate L8 取出, 分别采用 0 (正常对照组)、2.5、5.0 和 10.0 μ mol/L 的 RES 处理, 继续监测 24 h, 此过程共监测 48 h。3) 在 RES 干预处理氧化损伤细胞的试验中, 待细胞生长曲线进入对数期后 (即在培养板中培养 24 h 后), 先将细胞用 150 μ mol/L 的 H_2O_2 处理 8 h, 再分别用 0 (H_2O_2 组)、2.5、5.0 和 10.0 μ mol/L 的 RES 处理, 同时设未经 H_2O_2 和 RES 处理的正常对照组, 继续监测 24 h, 此过程共监测 56 h。设置 iCELLigence 系统每隔 15 min 实时监测细胞增殖情况, 制作增殖曲线, 不同曲线可反映不同处理条件下细胞实时增殖情况, 细胞增殖情况用增殖指数 (proliferation index, PI) 表示。在监测结束时测定各个培养板中细胞的存活率。

1.2.3 2',7'-二氯荧光素二乙酸酯 (DCFH-DA) 探针法检测细胞中 ROS 含量

待 RES(5.0 μ mol/L)处理氧化损伤细胞结束后, 按照 ROS 检测试剂盒说明书测定细胞中 ROS 含量, 具体操作如下: 去掉培养上清液, 加入含 10 μ mol/L DCFH-DA 探针的新鲜培养基, 37 $^{\circ}$ C 孵育细胞 40 min, 用胰酶消化细胞, 1 000 r/min 离心 10 min, 弃去上清液, 用磷酸盐缓冲液 (PBS) 清洗 1 次, 离心留细胞沉淀, 用 PBS 重悬细胞, 调整细胞密度为 6×10^5

个/mL，使用荧光酶标仪在激发波长为 485 nm、发射波长为 525 nm 处检测荧光强度。
DCFH-DA 本身没有荧光，当其进入细胞后被酯酶水解为 DCFH，而 DCFH 可被细胞内的
ROS 氧化为强绿色荧光物质 DCF，因此，其荧光强度与细胞内 ROS 的含量成正比，可用荧
光强度表示 ROS 含量。

1.2.4 实时荧光定量 PCR (quantitative real-time PCR, RT-qPCR) 检测细胞中 *SIRT1* 和 *UCP2*
的 mRNA 相对表达量

待 RES(5.0 μmol/L)处理氧化损伤细胞结束后，采用 Trizol 法提取细胞的总 RNA，并用
NanoDrop 2000 测定总 RNA 的浓度和纯度。总 RNA 产物经 HiScript® II Q RT SuperMix for
qPCR(+gDNA wiper)试剂盒反转录后，得到 cDNA 作为模板用于 qPCR。在 ABI Step One 荧
光定量 PCR 仪上，使用 ChamQ™ SYBR® qPCR Master Mix 试剂盒进行 RT-qPCR。反应体系：
2×ChamQ™ SYBR® qPCR Master Mix 10 μL、上游引物 0.4 μL (10 μmol/L)、下游引物 0.4 μL
(10 μmol/L)、50×ROX 0.4 μL、cDNA 2.0 μL、双蒸水 (ddH₂O) 6.8 μL，总体积为 20 μL。
反应条件：95 °C 预变性 30 s；95 °C 变性 10 s，60 °C 退火延伸 30 s，40 个循环。熔解曲线
反应条件：95 °C，变性 15 s，60 °C 退火 60 s，95 °C 变性 15 s。以β-肌动蛋白 (β-actin) 作
为内参，采用 2^{-ΔΔCt}法计算目的基因的 mRNA 相对表达量，对照组基因的 mRNA 相对表达
量设定为 1。所用引物由华大基因股份有限公司设计合成，引物序列见表 1。

表 1 实时荧光定量 PCR 引物序列

Table 1 Primer sequences for RT-qPCR

基因 Gene	序列号 Accession number	引物序列 Primer sequence (5'-3')
β-肌动蛋白	NM_007393.5	F: CATCCGTAAAGACCTCTATGCCAAC
β-actin		R: ATGGAGCCACCGATCCACA
沉默调节蛋白 1	NM_001159589.2	F: GCTTCATGATGGCAAGTGG

SIRT1 R: TCGTGGAGACATTTTAAATCAGG

解偶联蛋白 2 F: TCGGACACAGCCTTCT

NM_011671.5

UCP2 R: CTGGGAGACGAAACACTTA

F 和 R 分别代表上游和下游引物。

F and R represents forward and reverse primers, respectively.

1.2.5 蛋白质印迹（Western-blot）法检测细胞中 SIRT1 和 UCP2 的蛋白质相对表达量

待 RES 处理氧化损伤细胞结束后，弃掉培养基，用预冷的 PBS 洗涤细胞 2 次，加入 200 μ L RIPA 细胞裂解液（含 1% PMSF），吹打均匀，冰上放置 30 min，期间剧烈振荡 3 次，每次 30 s，将细胞裂解液置于 4 $^{\circ}$ C，12 000 r/min 离心 10 min 后吸取上清液，采用 BCA 蛋白定量试剂盒进行蛋白质浓度的测定。取适量蛋白质样品用 5 \times Loading Buffer 混匀，100 $^{\circ}$ C 水浴中煮 5 min 使蛋白质变性。使用十二烷基硫酸钠-聚丙烯酰胺凝胶电泳（SDS-PAGE）分离蛋白质，每孔上样量为 30 μ g，然后将蛋白质转印到聚偏二氟乙烯（PVDF）膜上，使用 0.2%明胶室温摇床封闭 1 h，分别加入不同的一抗 4 $^{\circ}$ C 孵育过夜；用三羟甲基氨基甲烷吐温（TBST）洗膜 3 次，每次 10 min；加入相对应的 HRP 标记二抗室温摇床孵育 1 h，TBST 洗膜 3 次，每次 10 min；最后用 ECL 化学发光液进行显色，于 ChemiDocTM XRS⁺成像系统中检测蛋白质条带并用 Quantity One 软件分析条带的密度值和表达量，以 β -actin 为内参。

1.3 数据统计分析

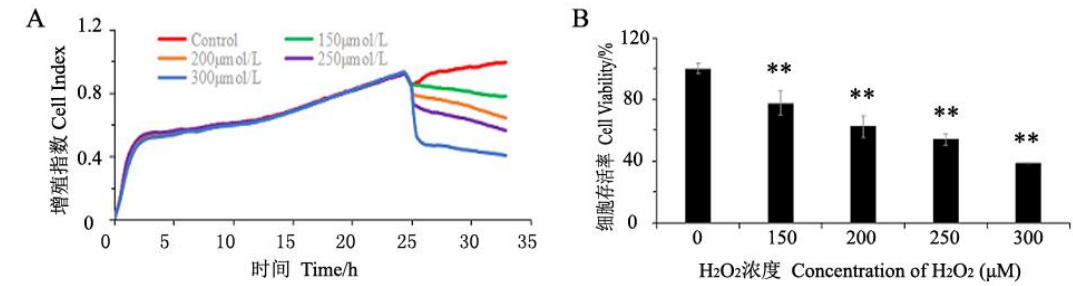
试验数据以平均值 \pm 标准差（mean \pm SD）表示，利用 SPSS 17.0 统计分析软件中的单因素方差分析（one-way ANOVA）进行方差分析，采用 LSD 法进行两两比较。 $P<0.05$ 为差异显著， $P<0.01$ 为差异极显著。

2 结果与分析

2.1 H₂O₂ 对 TM3 细胞增殖的影响

不同浓度 H₂O₂ 处理 TM3 细胞 8 h 后，根据 iCELLigence 细胞功能分析仪实时监测结果（图 1）可知，与正常对照组相比，各浓度 H₂O₂ 组的细胞存活率均极显著下降（ $P<0.01$ ），且

呈浓度依赖。其中用 150 $\mu\text{mol/L}$ 的 H_2O_2 处理时细胞存活率下降至 75%左右，达到预计的损伤效果。因此，在后续试验中选用 150 $\mu\text{mol/L}$ 的 H_2O_2 处理细胞 8 h 构建本试验中所需的细胞氧化损伤模型。



A: iCELLigence 细胞功能分析仪实时监测 H_2O_2 对 TM3 细胞增殖的影响。B: 不同浓度 H_2O_2 处理 TM3 细胞 8 h 后对细胞增殖的影响。

A: real-time monitor the effect of H_2O_2 on proliferation of TM3 cells by iCELLigence cell function analyzer. B: effects of different concentrations of H_2O_2 on proliferation of TM3 cells after treated for 8 h.

数据柱标 “**” 表示与正常对照组相比差异极显著 ($P<0.01$)。下图同。

Value columns of each with “**” mean extremely significant difference compared with the normal control group ($P<0.01$). The same as below.

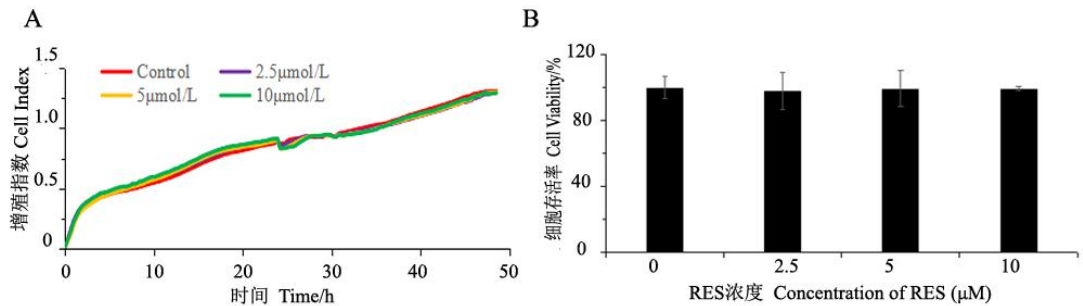
图 1 不同浓度 H_2O_2 对 TM3 细胞增殖的影响

Fig. 1 Effects of different concentrations of H_2O_2 on proliferation of TM3 cells

2.2 RES 对 TM3 细胞增殖的影响

为研究 RES 对 H_2O_2 致 TM3 细胞氧化损伤的作用效果，首先检测了 RES 对 TM3 细胞增殖的影响，由图 2 可知，用浓度分别为 2.5、5.0 和 10.0 $\mu\text{mol/L}$ 的 RES 处理正常细胞 24 h 后，各浓度 RES 组与正常对照组的细胞存活率无显著差异 ($P>0.05$)。由图 3 可知，当用 RES 处理氧化损伤细胞 24 h 后，与 H_2O_2 组（仅经 H_2O_2 单独处理，未经 RES 处理的氧化损伤细胞）相比，各浓度 RES 组的细胞存活率均显著提高 ($P<0.05$)，但仍无法恢复到正常

148 对照组水平,且各浓度 RES 组间无显著差异($P>0.05$),因此,后续试验中选取浓度为 5 $\mu\text{mol/L}$
149 的 RES 对氧化损伤 TM3 细胞进行处理。

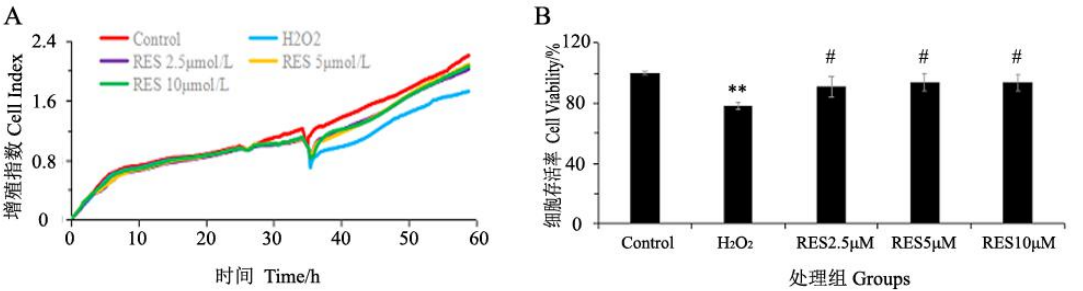


150 A: iCELLigence 细胞功能分析仪实时监测 RES 对 TM3 细胞增殖的影响。B: 不同浓度
151 RES 处理 TM3 细胞 24 h 后对细胞增殖的影响。

152 A: real-time monitor the effects of RES on proliferation of TM3 cells by iCELLigence cell
153 function analyzer. B: effects of different concentrations of RES on proliferation of TM3 cells
154 after treated for 24 h.

图 2 不同浓度 RES 对 TM3 细胞增殖的影响

Fig. 2 Effects of different concentrations of RES on proliferation of TM3 cells



157 A: iCELLigence细胞功能分析仪实时监测RES对H₂O₂诱导氧化损伤TM3细胞增殖的影响。B:
158 RES处理24 h对H₂O₂诱导氧化损伤TM3细胞增殖的影响。

159 A: real-time monitor the effects of RES on proliferation of H₂O₂-induced oxidative-damaged
160 TM3 cells by iCELLigence cell function analyzer. B: effects of RES on proliferation of
161 H₂O₂-induced oxidative-damaged TM3 cells after treated for 24 h.

数据柱标注“#”表示与H₂O₂组相比差异显著 ($P<0.05$)。

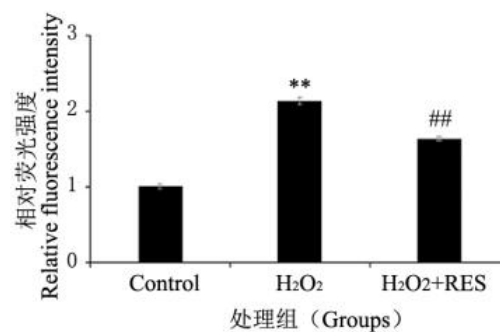
Value columns with “#” mean significant difference compared with H₂O₂ group ($P<0.05$).

图3 RES 对 H₂O₂ 诱导氧化损伤 TM3 细胞增殖的影响

Fig.3 Effects of RES on proliferation of oxidative-damaged TM3 cells induced by H₂O₂

2.3 RES 对氧化损伤 TM3 细胞中 ROS 含量的影响

由图 4 可知, 正常细胞经 H₂O₂ 的处理后, 细胞内相对荧光强度极显著增强 ($P<0.01$), 即表明细胞中 ROS 含量显著升高; 而氧化损伤细胞经 RES 处理后, 细胞内相对荧光强度极显著下降 ($P<0.01$), 但仍无法恢复至正常对照组的水平。这说明 RES 能够在一定程度上抑制氧化损伤 TM3 细胞中 ROS 的产生。



数据柱标注“##”表示与H₂O₂组相比差异极显著 ($P<0.01$)。下图同。

Value columns with “##” mean extremely significant difference compared with H₂O₂ group

($P<0.01$). The same as below.

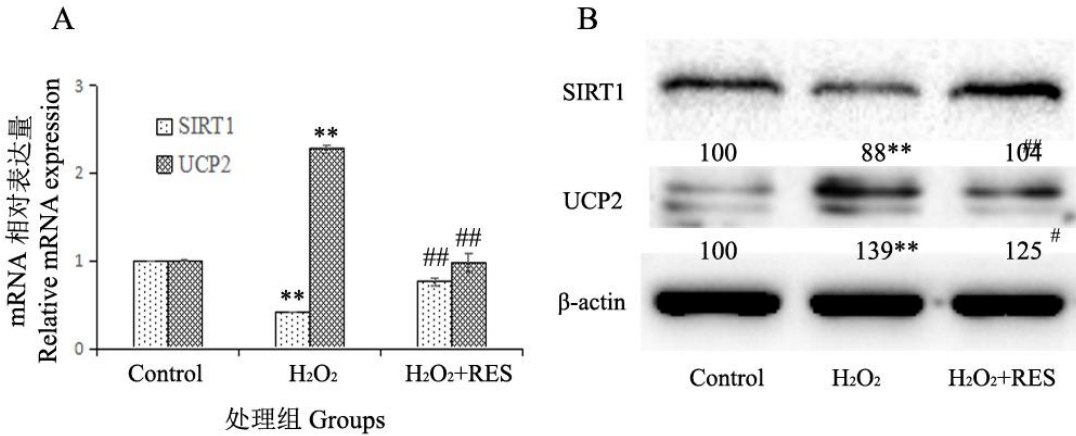
图4 RES 对 H₂O₂ 诱导氧化损伤 TM3 细胞中 ROS 含量的影响

Fig.4 Effects of RES on ROS content in oxidative-damaged TM3 cells induced by H₂O₂

2.4 RES 对氧化损伤 TM3 细胞中 SIRT1 和 UCP2 mRNA 和蛋白质相对表达量的影响

由图 5-A 可知, 正常细胞经 H₂O₂ 的处理后, 细胞中 SIRT1 mRNA 相对表达量极显著降低 ($P<0.01$), UCP2 mRNA 相对表达量极显著增加 ($P<0.01$)。而氧化损伤细胞经 RES 处理后, 细胞中 SIRT1 mRNA 相对表达量极显著增加 ($P<0.01$), UCP2 mRNA 相对表达量极显著降低 ($P<0.01$)。由图 5-B 可知, 细胞中 SIRT1 和 UCP2 蛋白质相对表达量的变化趋

势与其 mRNA 相对表达量变化趋势一致,即 H₂O₂ 处理导致 SIRT1 蛋白质相对表达量极显著降低 ($P<0.01$),而使 UCP2 蛋白质相对表达量表达极显著增加 ($P<0.01$); RES 处理可极显著提高氧化损伤细胞中 SIRT1 蛋白质相对表达量 ($P<0.01$),显著降低 UCP2 蛋白质相对表达量 ($P<0.05$)。



A: qPCR 检测 RES 对 H₂O₂ 诱导氧化损伤 TM3 细胞中 *SIRT1* 和 *UCP2* mRNA 相对表达量的影响。B: Western-blot 法检测 RES 对 H₂O₂ 诱导氧化损伤 TM3 细胞中 *SIRT1* 和 *UCP2* 蛋白质相对表达量的影响。

A: detection of the mRNA relative expression levels of *SIRT1* and *UCP2* in H₂O₂-induced oxidative-damaged TM3 cells with treatment of RES by qPCR. B: detection of the protein relative expression levels of *SIRT1* and *UCP2* in H₂O₂-induced oxidative-damaged TM3 cells with treatment of RES by Western-blot method.

同行数据肩标 “**” 表示与正常对照组相比差异极显著 ($P<0.01$), 肩标 “##” 表示与 H₂O₂组相比差异极显著 ($P<0.01$), 肩标 “#” 表示与H₂O₂组相比差异显著 ($P<0.05$)。

Values in the same line of with “**” superscript means extremely significant difference compared with the normal control group ($P<0.01$), with “##” superscript means extremely significant difference compared with the H₂O₂ group ($P<0.01$), and with “#” superscript means

significant difference compared with the H₂O₂ group ($P<0.05$).

图5 RES对H₂O₂氧化损伤TM3细胞中*SIRT1*和*UCP2* mRNA及蛋白质相对表达量的影响

Fig.5 Effects of RES on mRNA and protein relative expression levels of *SIRT1* and *UCP2* in oxidative-damaged TM3 cells induced by H₂O₂

3 讨 论

3.1 H₂O₂ 诱导 TM3 细胞氧化损伤模型的建立

目前, 在细胞氧化损伤模型的建立中, 多以 H₂O₂ 作为诱导剂, 不同类型的细胞对诱导剂的敏感性不一样, 因此诱导剂的浓度和处理时间非常关键^[11-12]。当诱导剂浓度过高或处理时间过长时会导致细胞损伤太严重, 不利于抗氧化机制的研究; 而当损伤程度太弱时, 细胞可能通过自身修复影响相关的研究。对于细胞氧化损伤模型, 一般通过噻唑蓝 (MTT) 法检测, 根据其吸光度值来判断细胞增殖情况从而确定氧化损伤程度, MTT 法虽然有其优势, 如重复性较好、特异性强等, 但每次只能确定 1 个时间点细胞的增殖情况。本试验中采用 iCELLigence 细胞功能分析仪实时监测, 可更直观地判断细胞的增殖情况, 而且监测过程中不需要特殊试剂, 可减少因多次操作所导致的误差。本试验中, 通过 iCELLigence 细胞功能分析仪实时监测, 发现 150 μmol/L 的 H₂O₂ 处理细胞 8 h, 细胞存活率下降至 75%左右, 符合后续抗氧化损伤实验的要求, 因此确定采用 150 μmol/L 的 H₂O₂ 建立细胞氧化损伤模型。

3.2 RES 对氧化损伤细胞的保护作用

研究表明, 动物体中 90%的 ROS 源于线粒体电子呼吸传递链, ROS 的产生与线粒体能量代谢紧密相关, 当 ROS 含量增加时, 会对线粒体的结构、功能造成损伤, 而线粒体受到损伤后又会促进 ROS 的生成, 如此恶性循环, 加重氧化损伤程度^[13-14]。解偶联蛋白 (UCPs) 是位于线粒体内膜上的一类转运蛋白, 它们可以介导线粒体内膜的“质子漏”使能量以热的形式散失^[15]。UCP2 作为 UCPs 家族成员之一, 是 UCPs 在生殖系统中的主要存在形式^[16-17]。大量试验表明, UCP2 可以调控 ROS 的生成, 并参与多种组织的抗氧化损伤作用。Brand^[18]提出了 UCP2 对 ROS 的负调控假设模型, 当 ROS 含量增加时, 过氧化物在化学转化过程中产生的某种物质激活 UCP2 的质子漏活性, 导致线粒体膜电位的下降, UCP2 就以一种负反馈调节的方式来限制 ROS 的生成, 表明在氧化应激过程中, UCP2 可以通过降低 ROS 的生

成量保护机体免受过氧化损伤。同样的结论在 Zhang 等^[19]、王晓娜等^[20]的试验中也得到证实。Zhang 等^[19]的试验表明, 高温诱导的凋亡能引起小鼠睾丸内 ROS 含量增加, UCP2 蛋白质表达量也随之增加; 王晓娜等^[20]试验发现, 精子内 UCP2 蛋白质的表达量与过氧化氢的作用浓度呈正相关, UCP2 为了对抗增加的 ROS, 表达量也随之增加。SIRT1 作为一种核蛋白, 能够以转录的形式抑制 UCP2 的转录活性, 通过与 UCP2 启动子结合, 抑制 UCP2 基因的表达, 减少其编码的线粒体内膜蛋白的生成, 从而抑制线粒体中解偶联反应的发生^[21]。相关研究表明, 经不同药物诱导的大鼠或小鼠氧化应激模型中, SIRT1 都表现出低表达状态, 而 SIRT1 一经激活, 可导致 UCP2 的表达下降^[8,22-23]。结合以上信息推测, 在本试验中, RES 通过对 SIRT1/UCP2 信号通路的调节发挥对氧化损伤小鼠睾丸间质细胞 TM3 的保护作用。

本试验结果显示, 与正常对照组相比, H₂O₂组细胞中ROS含量极显著增加, SIRT1 mRNA 及蛋白质的相对表达量均极显著降低, 而UCP2 mRNA及蛋白质的相对表达量极显著升高, 提示细胞被H₂O₂损伤后细胞中SIRT1含量的降低可能诱导UCP2含量的增加, 以抵抗细胞中增加的ROS。UCP2生成量增加, 解偶联线粒体内氧化磷酸化过程, 减少ATP的生成, ROS的生成量应该下降, 但氧化应激在细胞中UCP2表达增强的情况下仍持续存在, 推测可能是由于UCP2增加的量不足以抵抗ROS的过量产生。相比氧化损伤细胞, 采用RES处理后由H₂O₂所致的SIRT1 mRNA及蛋白质表达的下调和UCP2 mRNA及蛋白质表达的上调均在一定程度上受到抑制, 且细胞中ROS含量也极显著下降, 提示RES作为SIRT1的激活剂, 能够促进其表达。SIRT1被激活后, 可抑制UCP2的表达, 理论上应该会产生更多的ROS, 但实际采用RES处理后氧化损伤细胞中ROS的含量相对未经RES处理的氧化损伤细胞而言是减少的, 分析原因可能是UCP2对ROS存在负反馈调节, 即UCP2表达被抑制后, 细胞中ROS的含量增加, UCP2通过负反馈调节的方式限制ROS的产生。

此外, 在本研究中发现, 在正常 TM3 细胞中 UCP2 mRNA 的表达较丰富, 而其蛋白质较难检测到, 而经 H₂O₂ 损伤后 TM3 细胞中 UCP2 蛋白质的相对表达量极显著增加。这种情况的出现可能与抗体的特异性有关; 也可能是在生理状态下, 某些器官中的 UCP2 mRNA 并不最终表达为蛋白质, 而在病理状态下就可以启动 UCP2 mRNA 翻译为蛋白质。在 Fisler 等^[24]的研究中也在胰腺、脾脏、心脏、下丘脑、肺、睾丸、巨噬细胞等检测到大量的 UCP2

mRNA，而用 Western blot 法仅在下丘脑、巨噬细胞、白色脂肪组织、脾脏、胰岛的实质细胞中检测到了 UCP2 蛋白质。

4 结 论

SIRT1/UCP2 信号通路介导了 H₂O₂ 致 TM3 细胞的氧化损伤，RES 通过活化 SIRT1 抑制 UCP2 表达，UCP2 通过负反馈调节方式削弱氧化损伤细胞内 ROS 的生成，从而在一定程度上抑制 TM3 细胞的氧化损伤。

参考文献：

- [1] ASADI N,BAHMANI M,KHERADMAND A,et al.The impact of oxidative stress on testicular function and the role of antioxidants in improving it:a review[J].Journal of Clinical and Diagnostic Research,2017,11(5):IE01–IE05.
- [2] 陈指龙,张晓春,薛立群,等.环磷酰胺致小鼠生精障碍作用研究[J].动物医学进展,2017,38(5):34–38.
- [3] PANGENI R,SAHNI J K,ALI J,et al.Resveratrol:review on therapeutic potential and recent advances in drug delivery[J].Expert Opinion on Drug Delivery,2014,11(8):1285–1298.
- [4] MALHOTRA A,BATH S,ELBARBRY F.An organ system approach to explore the antioxidative,anti-inflammatory,and cytoprotective actions of resveratrol[J].Oxidative Medicine and Cellular Longevity,2015,2015:803971.
- [5] 张成,耿照玉,赵晓惠.白藜芦醇的生物学功能及其在畜禽生产中的应用[J].动物营养学报,2017,29(11):3837–3843.
- [6] 王慧君.白藜芦醇对高糖高胆固醇饮食小鼠睾丸 Leydig 细胞睾酮合成障碍的保护作用研究[D].硕士学位论文.合肥:安徽医科大学,2014.
- [7] 成海建,游伟,靳青,等.白藜芦醇通过激活去乙酰化酶 1/腺苷一磷酸激活的蛋白激酶信号通路影响牛脂肪细胞凋亡[J].动物营养学报,2017,29(12):4398–4407.
- [8] 周曦,易龙,金鑫,等.SIRT1/UCP2 通路在白藜芦醇抑制血管内皮细胞氧化应激损伤中的作

- 279 用[J].第三军医大学学报,2013,35(16):1671–1675.
- 280 [9] HSU C P,ZHAI P Y,YAMAMOTO T,et al.Silent information regulator 1 protects the heart
281 from ischemia/reperfusion[J].Circulation,2010,122(21):2170–2182.
- 282 [10] MATTIASON G,SULLIVAN P G.The emerging functions of UCP2 in health,disease,and
283 therapeutics[J].Antioxidants & Redox Signaling,2006,8(1/2):1–38.
- 284 [11] 张润蔚,王玲,张春晓,等.过氧化氢诱导斜带石斑鱼原代肝细胞氧化损伤模型的构建[J].
285 动物营养学报,2017,29(4):1227–1232.
- 286 [12] 丁逍,刘琳,陈迪,等.过氧化氢诱导原代大鼠睾丸间质细胞氧化损伤模型的建立[J].南
287 京农业大学学报,2014,37(4):99–104.
- 288 [13] 乔卫龙,李炜弘,史年刚,等.线粒体能量代谢与疾病关联机制的研究进展[J].云南中医中
289 药杂志,2016,37(4):61–62.
- 290 [14] 韩孝先,刘泽宇,周庆彪,等.线粒体在炎症调控中的作用研究进展[J].癌变·畸变·突
291 变,2017,29(6):467–470,475.
- 292 [15] 李海.线粒体解耦联蛋白 2 与能量代谢[J].内江师范学院学报,2010,25(8):52–55.
- 293 [16] 郑贵浪.UCP2 在脓毒症大鼠心肌细胞线粒体中的作用及初步机制探讨[D].博士学位论
294 文.广州:南方医科大学,2016.
- 295 [17] JI F,SHEN T J,ZOU W Z,et al.UCP2 Regulates embryonic neurogenesis via
296 ROS-mediated yap alternation in the developing neocortex[J].Stem
297 Cells,2017,35(6):1479–1492.
- 298 [18] BRAND M D.Uncoupling to survive?The role of mitochondrial inefficiency in
299 ageing[J].Experimental Gerontology,2000,35(6/7):811–820.
- 300 [19] ZHANG K J,SHANG Y L,LIAO S Y,et al.Uncoupling protein 2 protects testicular germ
301 cells from hyperthermia-induced apoptosis[J].Biochemical and Biophysical Research

Communications,2007,360(2):327–332.

[20] 王晓娜,朱春芳,张家燕,等.精子的氧化损伤与线粒体解偶联蛋白 2(*UCP2*)表达的关联性[J].医学研究杂志,2017,46(7):62–66.

[21] BORDONE L,MOTTA M C,PICARD F,et al.Sirt1 regulates insulin secretion by repressing *UCP2* in pancreatic β cells[J].PLoS Biology,2006,4(9):e295.

[22] 徐静,李楠,王俊红,等.二甲双胍对 2 型糖尿病合并非酒精性脂肪肝大鼠肝脏 *SIRT1*、*UCP2* 表达的影响[J].中南大学学报(医学版),2013,38(9):882–887.

[23] 张玉佩,孔怡琳,杨钦河,等.*SIRT1/UCP2* 通路在脂肪变性 HepG2 细胞线粒体能量代谢中的调控机制[J].中国老年学杂志,2016,36(3):513–516.

[24] FISLER J S,WARDEN C H.Uncoupling proteins,dietary fat and the metabolic syndrome[J].Nutrition & Metabolism,2006,3:38.

Resveratrol Attenuates Acute Oxidative Injury in Mouse Leydig Cell TM3 via Silent Information Regulator 1/Uncoupling Protein 2 Signaling Pathway

ZHANG Xiaochun¹ CHEN Zhilong¹ FANG Juan¹ LI Chen¹ WU Xiaosong^{2*} YANG Qing^{1*}

(1. College of Veterinary Medicine, Hunan Agricultural University, Changsha 410128, China; 2. College of Animal Science and Technology, Hunan Agricultural University, Changsha 410128, China)

Abstract: This experiment was conducted to investigate the protective effect of resveratrol (RES) on oxidative-damaged mouse Leydig cell TM3, and to explore its possible mechanism. Firstly, TM3 cells were treated with different concentrations (0, 150, 200, 250 and 300 $\mu\text{mol/L}$) of hydrogen peroxide (H_2O_2), and the optimal concentration of H_2O_2 was selected to establish the

*Corresponding authors: WU Xiaosong, associate professor, E-mail: wuxiaosong529@126.com; YANG Qing, professor, E-mail: qingyanghn@hunau.edu.cn (责任编辑 菅景颖)

oxidative-damaged cell model. Secondly, the normal cells and oxidative-damaged cells were treated with different concentrations (0, 2.5, 5.0 and 10.0 $\mu\text{mol/L}$) of RES for 24 h to select the safe concentration of RES. Finally, the oxidative-damaged cells were treated with safe concentration of RES for 24 h. Cell proliferation was real-time monitored by iCELLigence cell function analyzer during the whole culture process. After the oxidative-damaged cells treated by safe concentration of RES, the reactive oxygen species (ROS) content in cell was detected by 2',7'-dichlorodi-hydrofluorescein diacetate (DCFH-DA) probe method, and the real-time fluorescence quantitative PCR (RT-qPCR) and Western blotting method were used to detect the mRNA and protein relative expression levels of silent information regulator 1 (*SIRT1*) and uncoupling protein 2 (*UCP2*) which were the key factors in SIRT1/UCP2 signal pathway, respectively. The results showed as follows: 1) the cell viability was extremely significantly reduced after treatment with a concentration of 150 $\mu\text{mol/L}$ or more of H_2O_2 for 8 h ($P<0.01$). So, the concentration of 150 $\mu\text{mol/L}$ was selected as the optimal concentration of H_2O_2 to establish the oxidative-damaged cell model. 2) The cell viability had no significant change when the normal cells treated by 10.0 $\mu\text{mol/L}$ or less RES for 24 h ($P>0.05$); the cell viability was significantly increased when the oxidative-damaged cells treated by 2.5, 5.0 and 10.0 $\mu\text{mol/L}$ RES for 24 h ($P<0.05$), and no significant difference among different concentration RES groups ($P>0.05$). So, the concentration of 5.0 $\mu\text{mol/L}$ was selected as the safe concentration. 3) When the oxidative-damaged cells were treated by 5 $\mu\text{mol/L}$ of RES for 24 h, the content of ROS in cells was extremely significantly increased ($P<0.01$); the relative expression levels of *SIRT1* mRNA and protein were extremely significantly up-regulated ($P<0.01$), while the relative expression levels of *UCP2* mRNA and protein were extremely significantly or significantly down-regulated ($P<0.01$ or $P<0.05$). It is concluded that RES can activate the expression of SIRT1 and inhibit the expression of UCP2; meanwhile, UCP2 can attenuate the production of ROS in cells through a negative feedback regulation, thereby inhibiting the oxidative injury of TM3 cells to some extent.

Key words: resveratrol; oxidative injury; SIRT1; UCP2; mouse Leydig cell TM3